

文章编号:1001-6880(2017)Suppl-0106-08

丹参热风干燥特性及动力学模型研究

杜利平^{1,2}, 刘伟¹, 王晓¹, 耿岩玲¹, 崔莉^{1*}¹ 山东省中药质量控制技术重点实验室山东省分析测试中心, 济南 250014;² 山东农业大学 食品科学与工程学院, 泰安 271018

摘要:研究丹参的热风干燥特性、动力学模型及不同干燥条件下丹参中主要功效成分丹酚酸B和丹参酮ⅡA的含量变化。方法:在不同温度(50、60、70和80℃)下对不同直径(1.12、0.84和0.46 cm)的丹参进行热风干燥,得出相应的干燥曲线、干燥速率曲线,建立丹参不同干燥条件下的动力学模型,采用高效液相色谱法测定分析不同温度对干燥成品中丹酚酸B和丹参酮ⅡA含量的影响。结果:降速阶段为丹参热风干燥的主要阶段;Page模型对丹参干燥过程的拟合性较好,模型的预测值与实验值吻合性好,可以用来描述和预测丹参的热风干燥失水过程;通过费克第二定律求出干燥过程中的水分有效扩散系数(D_{eff})在 $5.08389 \times 10^{-10} \sim 2.54195 \times 10^{-9} \text{ m}^2/\text{s}$ 范围内,且随着温度的升高而增大;通过阿伦尼乌斯方程计算出平均活化能为49.0967 kJ/mol;热风干燥温度宜选择50~70℃,此时干燥成品的丹酚酸B和丹参酮ⅡA含量较高。结论:丹参热风干燥的主要阶段为降速阶段,Page模型适于预测和描述其失水过程,该研究结果对丹参实际生产具有一定的指导意义。

关键词:丹参;热风干燥;动力学模型

中图分类号:TS255

文献标识码:A

DOI:10.16333/j.1001-6880.2017.S.023

Hot-air drying characteristics and drying kinetics of *Salvia miltiorrhiza* Bunge

DU Li-ping^{1,2}, LIU Wei¹, WANG Xiao¹, GENG Yan-ling¹, CUI Li^{1*}¹ Key Laboratory of TCM Quality Control Technology, Shandong Analysis and Test Center Jinan 250014, China;² College of Food Science and Engineering, Shandong Agricultural University, Taian 271018, China

Abstract: To study the hot-air drying characteristics, drying kinetics mathematical models and the effect of different drying condition on the effective constituent, which included salvianolic acid B and tanshinone II A of *Salvia miltiorrhiza* Bunge. Methods: The experiment was carried out at different hot-air drying temperatures (50, 60, 70 and 80 °C) and at different diameters (1.12, 0.84 and 0.46 cm). The drying characteristics were detected and the drying kinetics mathematical model was established. Meanwhile, salvianolic acid B and tanshinone II A were detected by high-performance liquid chromatography (HPLC). Results: The drying process occurred in falling rate periods; According to statistical parameters, the Page model predicts and describes the drying process more accurately than others. There was a good agreement between the experimental and predicted values of *Salvia miltiorrhiza* Bunge; The Fick's second law of diffusion was employed to calculate the value of moisture effective diffusivity (D_{eff}), which ranged from $5.08389 \times 10^{-10} \sim 2.54195 \times 10^{-9} \text{ m}^2/\text{s}$, and increased with the increasing of drying temperature; The activation energy determined from Arrhenius equation was 49.0967 kJ/mol; The content of salvianolic acid B and tanshinone II A is higher when the temperature rang 50 to 70 °C. Conclusion: The drying process of *Salvia miltiorrhiza* Bunge only contained deceleration stage. The Page model was the best suitable for predicting moisture ratio. The research results of *Salvia miltiorrhiza* Bunge has a certain guiding significance to practical production.

Key words: *Salvia miltiorrhiza* Bunge; hot-air drying ; kinetic modeling

丹参(*Salvia miltiorrhiza* Bunge)系唇形科植物,以干燥的根和根茎入药,是一种常用的中药,具有活

血去瘀,消肿止痛,抗动脉粥样硬化,保护心肌等多种功效^[1-3]。干燥是中药材加工中不可或缺的重要环节,经过干燥的中药材,不仅药性可以得到保持,且不易腐败变质,有利于运输和贮藏。目前,鲜丹参多采用户外晾晒或烘房烤制等传统干燥工艺,存在干燥周期长,易受气候影响等缺点,此外对干燥产品

收稿日期:2016-09-27 接受日期:2016-10-25

基金项目:山东省重点研发计划(2015GSF119021);山东省三院联合基金项目(ZR2016YL006);山东省泰山学者岗位专家支持项目;山东省科技先导项目

*通信作者 E-mail:cui0617@163.com

品质也缺乏系统考察。目前国内对丹参的干燥研究主要集中在工艺条件优化方面,范开等^[5]、邓寒霜等^[6]针对不同干燥方式对丹参有效成分的影响进行了研究,张仲欣等^[7]对丹参干燥工艺参数进行了研究,但对指导干燥的基础理论研究相对较少,国外尚未见相关研究的报道。

热风干燥是应用较广的现代干燥技术,与传统的干燥方式如晾晒干燥相比,具有效率高、产品品质好等特点,且操作简单,易于推广。因而本研究拟采用热风干燥技术对丹参进行干燥,研究不同干燥温度和丹参直径大小对丹参干燥特性的影响,建立丹参热风干燥数学模型,同时采用高效液相色谱法测定不同干燥温度下丹参酮ⅡA 及丹酚酸B 的含量。以期能较准确地预测丹参干燥过程中水分变化规律和干燥速率,为丹参干燥加工提供指导。

1 材料与方法

1.1 材料、仪器与试剂

新鲜丹参于2015年12月采自山东省莱芜市。将采回鲜丹参除去泥土及地上部分后剪成长约十厘米的小段,直径分别为 1.12 ± 0.04 , 0.84 ± 0.04 , 0.46 ± 0.04 cm。文中所有水分含量都以干基含水率作为计算标准,测试方法及单位均按国家标准GB/T 5009.3-2010^[8]执行。

BAS124S 万分之一天平[赛多利斯科学仪器(北京)有限公司];游标卡尺(精度0.02 mm,成都成量工具有限公司);GZX-9140 MBE型数显鼓风干燥箱(上海博讯实业有限公司医疗设备厂);Agilent 1120型高效液相色谱仪(美国 Agilent 公司);超声提取机(宁波新芝生物科技股份有限公司)。

试剂:甲醇(分析纯)、乙醇(分析纯)、乙腈(色谱纯)。

1.2 实验方法

1.2.1 湿基含水量测定^[8]

将新鲜丹参放置于105℃的烘箱中进行干燥,

表1 标样的标准曲线方程及 R^2

Table 1 Standard curve equations and R^2 of different standard samples

对照品 Standard	标准曲线方程 Regression equation	R^2
丹酚酸 B Salvianolic acid B	$y = 999.37x + 44.827$	1
丹参酮ⅡA Tanshinone II A	$y = 1978.7x - 1.9164$	0.9996

1.3 实验指标计算方法

1.3.1 千基含水率

不同干燥时间点丹参的干基含水率按式(1)计算:

直至重量不再变化为止,得到丹参初始含水量为70±2% (湿基含水量)。

1.2.2 干燥实验过程

烘箱干燥采用电热鼓风干燥箱,每次试验取出三种不同直径(1.12 ± 0.04 , 0.84 ± 0.04 , 0.46 ± 0.04 cm)的丹参分装在3个培养皿中。在不同的温度(50、60、70、80℃)下进行烘箱干燥试验,在前3 h 内每隔0.5 h 取一次样进行称量,4~12 h 内每隔1 h 取一次样进行称量,在后面的干燥时间内每隔2 h 取一次样。当前、后两次取样测得的质量差小于0.1 g 时,认为达到此干燥条件下的平衡含水率 M_e ,停止干燥。每组试验重复3次,取平均值作为结果。

1.2.3 有效成分测定

分别称取不同温度干燥的丹参各0.5 g,研磨成粉,加入50 mL 60% 甲醇提取水溶性成分丹酚酸B,加入50 mL 70% 乙醇提取脂溶性成分丹参酮ⅡA,分别置于50 mL 离心管中超声提取30 min,过滤,作为待测液。色谱条件:色谱柱为 Inertsil-ODS-RP (250 mm × 4.6 mm, 5 μm);流动相:(A)0.2% 甲酸溶液,(B)乙腈;水溶性成分梯度洗脱:0~35 min, 5%~35% B;35~36 min, 35%~100% B;36~40 min, 100%~5% B;40~45 min, 5% B;检测波长280 nm;脂溶性成分梯度洗脱:0~35 min, 65% B;35~36 min, 65%~100% B;36~41 min, 100%;检测波长270 nm;流速1 mL/min;柱温25℃,进样量20 μL。

对照品制备:准确称取0.0029 g 丹酚酸B 标准品,用60% 甲醇溶解定容于10 mL 的容量瓶中,过0.45 μm 微孔滤膜滤后备用。准确称取丹参酮ⅡA 0.0020 g 标准品,用70% 乙醇溶解定容于50 mL 的容量瓶中,过0.45 μm 微孔滤膜滤后备用。分别精密吸取对照品2、4、6、8、10、12 μL 按上述色谱条件进样,测定峰面积,绘制标准曲线(表1)。

$$W_t = (m_t - m_d) / m_d \quad (1)$$

式中, W_t ——t时刻丹参的干基含水率,g/g 干物料; m_t ——丹参干燥至t时刻的总质量,g; m_d ——丹

参用 105 ℃烘箱恒重法干燥测定的干物料质量,g。

1.3.2 干燥速率 $DR^{[9]}$

不同干燥时刻丹参的干燥速率的计算按式(2)：

$$DR = (M_t - M_{t+dt}) / dt \quad (2)$$

式中, M_t ——t 时刻丹参的干基含水率,g/g 干物料; M_{t+dt} ——t + dt 时刻丹参的干基含水率,g/g 干物料。

1.3.3 水分比

在一定的干燥条件下水分比(moisture ratio, M_R)可用来表示物料还有多少水分未被干燥去除, 同时还可以反映物料干燥速率的快慢, 计算公式见

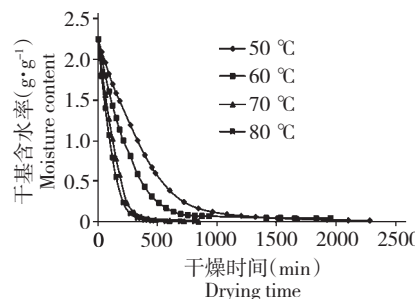


图 1 不同热风温度对丹参干基含水率和干燥速率的影响(丹参直径为 1.12 cm)

Fig. 1 Effect of hot-air drying temperature on the moisture content and drying rate of *S. miltiorrhiza*

图 1 为在丹参直径为 1.12 cm 时, 不同干燥温度对丹参热风干燥过程的干基含水率和干燥速率的影响。随着干燥的进行, 丹参水分含量呈现逐渐下降趋势; 干燥温度对丹参的干燥速率影响较大, 温度越高, 干燥速率越快。从图中可以看出, 丹参的热风干燥过程没有恒速干燥阶段, 整个干燥过程为降速干燥阶段。这是由于干燥开始后, 不同热风温度下, 随着热量的传递, 丹参表层水分快速散失, 干燥速率

式(3)^[10]:

$$M_R = (M_t - M_e) / (M_0 - M_e) \quad (3)$$

式中: M_t ——t 时刻的干基含水量,g/g; M_e ——平衡干基水分含量,g/g; M_0 ——初始干基含水量,g/g。

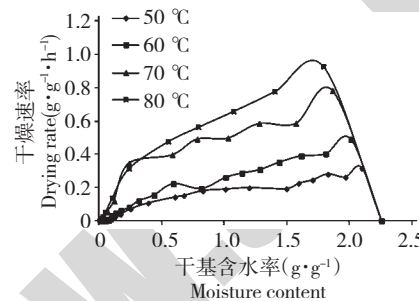
因丹参的平衡干基含水量 M_e 远小于 M_t 和 M_0 , 可将(3)简化成式(4)进行计算:

$$MR = M_t / M_0 \quad (4)$$

2 结果与分析

2.1 丹参热风干燥特性

2.1.1 不同温度对丹参热风干燥特性的影响



在第一个测量时间点 30 min 处达到最大, 随后丹参内部水分迁移逐渐困难, 干燥进入降速阶段, 水分的汽化面从丹参表面逐渐转移到内部深处, 使水分的迁移路径加长。此阶段会产生低蒸汽压, 即其蒸汽压低于同温度下纯水的饱和蒸汽压, 使得丹参干燥过程中内部传质推动力逐渐降低, 扩散阻力增大, 干燥速率逐渐减小, 直至干燥完成。

2.1.2 不同直径对丹参热风干燥特性的影响

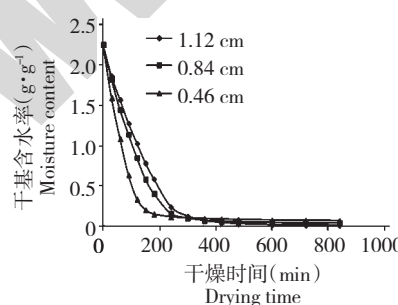
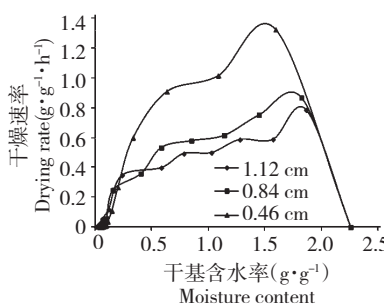


图 2 不同粗细对丹参干基含水率和干燥速率的影响(干燥温度为 70 ℃)

Fig. 2 Effect of diameters on the moisture content and drying rate of *S. miltiorrhiza*

图 2 为干燥温度 70 ℃下, 不同粗细的丹参热风干燥过程的干基含水率和干燥速率曲线图。在丹参



直径分别为 1.12, 0.84, 0.46 cm 的条件下, 干燥时间分别为 840、600 和 480 min。丹参粗细对干燥速

率有影响,随着丹参直径的降低,干燥时间缩短。从图 2 干燥速率曲线可以看出,干燥主要由降速阶段控制,基本没有恒速阶段,原因同 2.1.1 所述。

2.2 丹参干燥动力学数学模型

2.2.1 干燥模型的确定

薄层干燥常见的数学模型如表 2 所示。

表 2 用于干燥曲线分析的数学模型

Table 2 Mathematical models for drying kinetics

模型序号 No.	模型名称 Name	模型 Model	参考文献 Reference
1	Lewis	$MR = \exp(-kt)$	Bruce(1985) ^[11]
2	Page	$MR = \exp(-kt^n)$	Page(1949) ^[12]
3	Henderson and Pabis	$MR = a\exp(-kt)$	Henderson and Pabis(1961) ^[13]
4	Logarithmic	$MR = a\exp(-kt) + c$	Togrul and Pehlivan (2002) ^[14]
5	Simplified Fick's diffusion	$MR = a\exp(-ct/L^2)$	Diamante and Munro (1991) ^[15]

不同模型的拟合结果如表 3 所示,Page 干燥模型拟合程度最好,其 R^2 值最大,均值达 0.9968, χ^2 和 RMSE 值最小,均值分别为 3.8164×10^{-4} 、0.006083,且形式简单,参数较少,所以 Page 模型能够较好地描述丹参热风干燥过程。在三七主根、怀山药、胡萝卜等根类材料的热风干燥动力学模型研究时也发现 Page 模型拟合效果最好,但何首乌薄层干燥研究显示 Midilli 模型为最佳模型^[15],可能是由于其内部组织结构及成分组成不同等造成失水规律的不同。

表 3 各种薄层干燥模型的统计结果

Table 3 Statistical results obtained from different thin-layer drying models

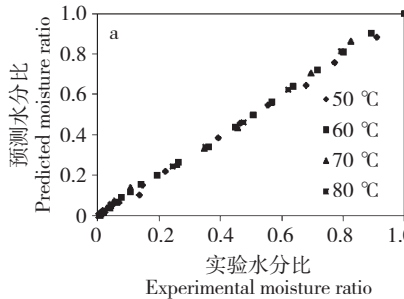
模型序号 No.	T/ °C	直径 Diameter (cm)	干燥常数 Parameter	R^2	χ^2	RMSE
1	50	1.12	$k = 0.0026$	0.99588	5.00295×10^{-4}	0.01151
	50	0.84	$k = 0.00451$	0.99757	2.51118×10^{-4}	0.00578
	50	0.46	$k = 0.00477$	0.98925	0.00102	0.02356
	60	1.12	$k = 0.00398$	0.9968	3.23668×10^{-4}	0.00777
	60	0.84	$k = 0.00514$	0.99514	4.27129×10^{-4}	0.01025
	60	0.46	$k = 0.00797$	0.99598	3.32557×10^{-4}	0.00765
	70	1.12	$k = 0.00729$	0.98871	0.0013	0.01825
	70	0.84	$k = 0.00853$	0.99179	8.74221×10^{-4}	0.01224
	70	0.46	$k = 0.01367$	0.98774	9.96818×10^{-4}	0.01505
	80	1.12	$k = 0.00899$	0.994	6.76829×10^{-5}	0.0088
2	80	0.84	$k = 0.01459$	0.99683	2.97671×10^{-4}	0.00387
	80	0.46	$k = 0.01915$	0.9957	3.75264×10^{-4}	0.00488
	50	1.12	$k = 0.0027 n = 1.13071$	0.99878	1.47702×10^{-4}	0.00325
	50	0.84	$k = 0.00286 n = 1.08436$	0.9987	1.34259×10^{-4}	0.00295
	50	0.46	$k = 0.00312 n = 1.08043$	0.98952	9.98473×10^{-4}	0.02197
	60	1.12	$k = 0.0025 n = 1.08373$	0.99815	1.87076×10^{-4}	0.0043
	60	0.84	$k = 0.00501 n = 1.00472$	0.99492	4.4647×10^{-4}	0.01027
	60	0.46	$k = 0.00372 n = 1.15575$	0.99885	9.51718×10^{-4}	0.00209
	70	1.12	$k = 0.00212 n = 1.2483$	0.99749	2.89255×10^{-4}	0.00935
	70	0.84	$k = 0.0031 n = 1.21041$	0.99742	2.74962×10^{-4}	0.00357

模型序号 No.	T/ °C	直径 Diameter (cm)	干燥常数 Parameter	R ²	χ^2	RMSE
3	70	0.46	k = 0.0059 n = 1.19064	0.99043	8.382×10^{-4}	0.0109
	80	1.12	k = 0.00358 n = 1.19308	0.99922	8.82398×10^{-5}	0.00167
	80	0.84	k = 0.00768 n = 1.14727	0.99889	1.04716×10^{-4}	0.00126
	80	0.46	k = 0.00855 n = 1.19505	0.99864	1.18636×10^{-4}	0.00142
	50	1.12	k = 0.0027 a = 1.02896	0.99669	4.01723×10^{-4}	0.00884
	50	0.84	k = 0.0046 a = 1.01643	0.99772	2.35445×10^{-4}	0.00518
	50	0.46	k = 0.00491 a = 1.02307	0.98928	0.00102	0.02247
	60	1.12	k = 0.00407 a = 1.02021	0.99709	2.94147×10^{-4}	0.00677
	60	0.84	k = 0.00519 a = 1.00793	0.99499	4.40299×10^{-4}	0.01013
	60	0.46	k = 0.00823 a = 1.03035	0.9966	2.81482×10^{-4}	0.00619
4	70	1.12	k = 0.00761 a = 1.04143	0.98976	0.00118	0.01537
	70	0.84	k = 0.00885 a = 1.03546	0.99354	7.94252×10^{-4}	0.01033
	70	0.46	k = 0.01399 a = 1.02431	0.98742	0.01432	0.01432
	80	1.12	k = 0.00929 a = 1.03189	0.99462	6.07514×10^{-4}	0.00729
	80	0.84	k = 0.01486 a = 1.01925	0.99696	2.85283×10^{-4}	0.00342
	80	0.46	k = 0.01945 a = 1.01743	0.99567	3.78162×10^{-4}	0.00546
	50	1.12	k = 0.00265 a = 1.0339 c = -0.00738	0.99666	4.04946×10^{-4}	0.0085
	50	0.84	k = 0.00462 a = 1.01544 c = 0.00462	0.99763	2.45461×10^{-4}	0.00515
	50	0.46	k = 0.00543 a = 1.00134 c = 0.03549	0.99577	4.03249×10^{-4}	0.00847
	60	1.12	k = 0.00414 a = 1.01667 c = 0.00591	0.99708	2.94724×10^{-4}	0.00648
5	60	0.84	k = 0.00563 a = 0.994 c = 0.02699	0.9986	1.23283×10^{-4}	0.00271
	60	0.46	k = 0.00827 a = 1.02921 c = 0.00175	0.99646	2.92979×10^{-4}	0.00615
	70	1.12	k = 0.00716 a = 1.05971 c = -0.02545	0.99088	0.00105	0.01263
	70	0.84	k = 0.00882 a = 1.03642 c = -0.00133	0.99193	8.59696×10^{-4}	0.01032
	70	0.46	k = 0.01495 a = 1.00576 c = 0.02448	0.99073	8.11687×10^{-4}	0.00974
	80	1.12	k = 0.00892 a = 1.04348 c = -0.01612	0.99515	5.47651×10^{-4}	0.00602
	80	0.84	k = 0.01501 a = 0.99679 c = 0.0039	0.99679	3.01327×10^{-4}	0.00331
	80	0.46	k = 0.01958 a = 1.01527 c = 0.00263	0.99534	4.07355×10^{-4}	0.00448
	50	1.12	a = 1.029 c = 0.00158 L = 0.76555	0.99653	4.20852×10^{-4}	0.00884
	50	0.84	a = 1.01647 c = 0.0047 L = 1.01059	0.99762	2.46656×10^{-4}	0.00518
6	50	0.46	a = 1.02312 c = 0.02619 L = 2.30925	0.98877	0.00107	0.02247
	60	1.12	a = 1.02025 c = 0.00405 L = 0.99743	0.99696	3.07517×10^{-4}	0.00677
	60	0.84	a = 1.00807 c = 0.0215 L = 2.03799	0.99476	4.65051×10^{-4}	0.01013
	60	0.46	a = 1.03041 c = 0.01052 L = 1.13079	0.99644	2.94885×10^{-4}	0.00619
	70	1.12	a = 1.04155 c = 0.00329 L = 0.6578	0.98891	0.00128	0.01537
	70	0.84	a = 1.03551 c = 0.00524 L = 0.7689	0.99192	8.60439×10^{-4}	0.01033
	70	0.46	a = 1.02434 c = 0.03327 L = 1.54194	0.98638	0.00119	0.01432
	80	1.12	a = 1.03197 c = 0.00661 L = 0.84309	0.99413	6.62743×10^{-4}	0.00729
	80	0.84	a = 1.01928 c = 0.01899 L = 1.13058	0.99669	3.11218×10^{-4}	0.00342
	80	0.46	a = 1.01746 c = 0.0535 L = 1.65863	0.99528	4.1251×10^{-4}	0.00454

2.2.2 丹参热风干燥 Page 模型的确定

为了解丹参热风干燥温度和粗细对 Page 模型参数 k , n 的影响, 利用 spss18.0 统计软件分别对模型中待定的 k , n 与干燥温度(T)和直径(L)进行一元非线性回归拟合:

直径为 1.12 cm 时,



$$k = 3 \times 10^{-7}T^3 - 6 \times 10^{-5}T^2 + 0.0037T - 0.0697 \quad (R^2 = 1) \quad (5)$$

$$n = -7 \times 10^{-5}T^3 + 0.014T^2 - 0.8903T + 19.636 \quad (R^2 = 1) \quad (6)$$

温度为 70 °C,

$$k = 0.0059L^2 - 0.015L + 0.0116 \quad (R^2 = 1) \quad (7)$$

$$n = 0.1262L^2 - 0.112L + 1.2155 \quad (R^2 = 1) \quad (8)$$

2.2.3 丹参热风干燥 Page 模型的验证

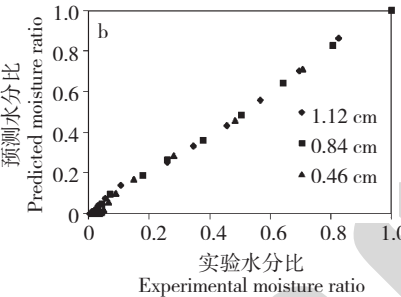


图 3 Page 预测水分比和实验水分比的线性回归分析(a 直径为 1.12 cm, b 温度为 70 °C)

Fig. 3 Comparison of experimental and predicted moisture ratios from the Page model

图 3 中丹参不同干燥温度(50、60、70 和 80 °C)和直径(1.12, 0.84 和 0.46 cm)条件下的实验 MR 值和经 Page 模型预测的 MR 值进行线性回归分析, 可以看出回归曲线与坐标轴基本呈 45°角, 且通过线性回归分析发现其 R^2 值均大于 0.9967, 说明实验水分比与预测水分比吻合性较好, 所以 Page 数学模型能够较好地预测丹参热风干燥过程规律。

2.3 丹参热风干燥过程中有效扩散系数的变化

丹参的降速干燥过程受内部扩散的控制, 所以内部水分扩散系数是其干燥过程数学模型中的重要参数。Fick 扩散方程经常用来描述生物产品降速阶段的干燥特性。当具有相同初始含水率的样品进行较长时间的干燥试验时, Fick 扩散方程的解可以简

化成如下形式^[16]:

$$\ln MR = \ln \frac{8}{\pi^2} - \frac{\pi^2 D_{eff} t}{4 L_o^2} \quad (9)$$

式中: D_{eff} —有效水分扩散系数, $m^2 \cdot s^{-1}$; L_o —样品厚度的一半, m 。

在不同的干燥条件下, 用试验数据拟合 $\ln MR-t$ 直线方程, 根据直线方程的斜率算 D_{eff} 。

$$\text{斜率} = -\frac{\pi^2 D_{eff} t}{4 L_o^2} \quad (10)$$

将试验数据带入式(10), 通过曲线拟合, 可求出丹参不同温度下的有效水分扩散系数 D_{eff} , 结果见表 4。

表 4 不同干燥条件下丹参的有效水分扩散系数

Table 4 Values of effective diffusivities obtained for *Salvia miltiorrhiza* Bunge at different temperatures

温度 Temperature (°C)	直径 Diameter (cm)	线性拟合方程 Regression equation	相关系数 R^2	水分扩散系数 D_{eff} (m^2/s)
50	0.80	$\ln M_R = -4 \times 10^{-5}t - 0.119$	0.99641	5.08389×10^{-10}
60	0.80	$\ln M_R = -7 \times 10^{-5}t - 0.0025$	0.9843	8.89681×10^{-10}
70	0.80	$\ln M_R = -1 \times 10^{-4}t - 0.1913$	0.9436	1.276097×10^{-9}
80	0.80	$\ln M_R = -2 \times 10^{-4}t + 0.0654$	0.9093	2.54195×10^{-9}

由此可以看出, 在丹参直径为 1.12 cm, 温度为 50~80 °C 内, 丹参有效扩散系数为 $5.08389 \times 10^{-10} \sim 2.54195 \times 10^{-9} m^2/s$ 。随着温度的增加, 其 D_{eff} 值不断增加, 这是由于当外部温度提高后, 丹参内部温度也

随之提高, 从而造成蒸汽压梯度使湿分扩散到表面并同时使液体湿分迁移^[17]。此结果也与种翠娟等^[21]对胡萝卜的研究中有效水分扩散系数 $8.4 \times 10^{-10} \sim 6.69 \times 10^{-9} m^2/s$ 吻合。

2.4 丹参热风干燥过程中的活化能

干燥过程中的活化能表示干燥除去单位摩尔的水分所需要的能量,即活化能越大说明物料越难干燥。通过阿伦尼乌斯公式(Arrhenius equation)来表示干燥过程中物料的水分有效扩散系数 D_{eff} 和温度 T_a 之间的关系,公式如下^[18]:

$$D_{\text{eff}} = D_0 \exp\left(-\frac{E_a}{RT_a}\right) \quad (11)$$

式中: D_0 —Arrhenius方程的指数前因子, m^2/s ; E_a —活化能,KJ/mol; R —气体常数,KJ/(mol·K); T_a —绝对温度,K。

将式(11)两边取对数可得: $\ln D_{\text{eff}} = \ln D_0 - \frac{E_a}{RT_a}$,将 $\ln D_{\text{eff}}$ 与 $1/T_a$ 的曲线进行线性拟合,根据拟合直线的斜率 $-\frac{E_a}{R}$ 计算得到 E_a ,二者的关系如图5所示。

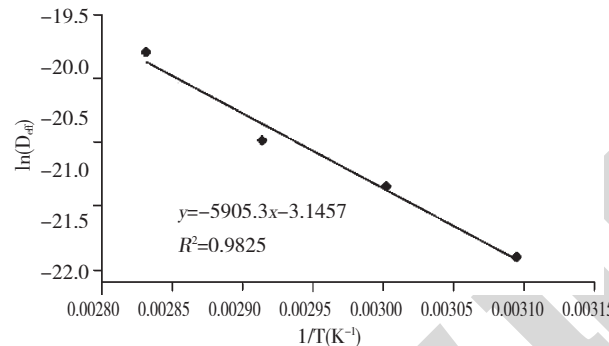


图4 水分有效扩散系数与干燥温度的关系曲线

Fig. 4 The relation curves of moisture effective diffusion coefficients and drying temperatures

不同干燥温度下的直线回归方程为 $Y = -5905.3X - 3.1457$ ($R^2 = 0.9825$),经计算得其活化能 E_a 为49.0967 KJ/mol。通过与文献比较,丹参热风干燥过程的活化能明显高于荔枝果肉(29.939 kJ/mol)、双孢菇的菇柄(27.274 kJ/mol)和姜片35.23 kJ/mol等,与茯苓块(40.09 kJ/mol)^[28]和红枣(54.51 kJ/mol)^[19]较接近,低于葡萄(67.29 kJ/mol)^[20]等。

2.5 不同干燥温度对丹参有效成分的影响

不同干燥方式对丹参有效成分的影响如表5所示。从表中可以看出,热风干燥温度为60 °C时,丹参水溶性成分丹酚酸B和脂溶性成分丹参酮II A的含量均最高,分别为51.374和12.532 mg/g。温度为80 °C时有效成分含量最低,说明高温破坏了其有效成分。所以,60 °C时丹参中的有效成分保留最

表5 不同干燥条件对丹参有效成分的影响

Table 5 Effect of different drying condition on the effective constituent of *Salvia miltiorrhiza* Bunge

	丹酚酸 B Salvianolic acid B (mg/g)	丹参酮 II A Tanshinone II A (mg/g)
50 °C	47.169	7.287
60 °C	51.374	12.532
70 °C	42.482	7.443
80 °C	37.272	6.812

好,50 和 70 °C 时次之,不宜采用 80 °C 以上进行干燥。

3 结论

3.1 本实验在确定了恒定的风速(1.2 m/s)的条件下,得到不同热风干燥温度(50, 60, 70 和 80 °C)和不同直径(1.12, 0.84 和 0.46 cm)的丹参的干燥曲线和干燥速率曲线。结果表明,丹参的热风干燥是内部水分扩散控制的降速干燥过程,无恒速干燥阶段。温度越高,干燥速率越大;直径越大,干燥速率越慢。

3.2 Page模型对丹参的热风干燥过程拟合程度最好,其 R^2 值最大,均值达0.9968, χ^2 和RMSE值最小,均值分别为 3.8164×10^{-4} 、0.006083,且形式简单,参数较少。

3.3 直径为1.12 cm时,水分有效扩散系数随着干燥温度的升高而增大,其范围为 5.08389×10^{-10} ~ 2.54195×10^{-9} m^2/s ;丹参平均活化能 E_a 为49.0967 KJ/mol。

3.4 丹参干燥温度宜选择在50~70 °C之间,此时干燥成品的丹酚酸B和丹参酮II A含量较高,不宜采用80 °C以上进行干燥。

参考文献

- Chinese Pharmacopoeia Commission (国家药典委员会). *Pharmacopoeia of the People's Republic of China* (中华人民共和国药典). Beijing: China Medical Science Press, 2010. Vol I ,11.
- Wang H (王虹), Gao XM (高秀梅), Zhang BL (张伯礼), et al. Influence of different component of danshen on the proliferation in vessel smooth muscle cell. *Tianjin J Tradit Chin Med* (天津中医药), 2004, 21:231-233.
- Fan YC (范英昌), Jin SM (金树梅), Zhao GF (赵桂峰). Effect of Tanshinone II A on Vessel Diastolic and Systolic Factors of ECV304 Cell. *J Tianjin Univ Tradit Chin Med* (天津中医药大学学报), 2006, 25:215-218.

(下转第90页)